

Рис. 2. Принципиальная схема (а) простого генератора шума—генератора Ван-дер-Поля, в сеточный контур которого добавлен туннельный диод. Вольт-амперная характеристика (б) нелинейного элемента — туннельного диода.

том с вольт-амперной характеристикой, представленной на рис. 2 б. Пока ток I в контуре и напряжение на сетке U малы, туннельный диод не оказывает существенного влияния на колебания в контуре, и они, как и в обычном ламповом генераторе, нарастают. При этом через туннельный диод течёт ток I , а напряжение на нём определяется ветвью α характеристики $I(V)$. Когда же ток I достигает значения I_m , происходит почти мгновенное переключение туннельного диода (быстрая переключение связана с малостью ёмкости C_1) — скачком устанавливается напряжение V_m . Затем ток через туннельный диод уменьшается и происходит его обратное переключение с участка β на α . В результате двух переключений туннельный диод почти полностью поглощает поступившую в контур энергию и колебания начинают снова нарастиать. (При рассмотрении работы схемы характеристику лампы можно считать линейной; это оправдано тем, что в интересующем нас режиме колебания ограничиваются нелинейной характеристикой туннельного диода.) Т. о., генерируемый сигнал $U(t)$ представляет собой последовательность пугов нарастающих колебаний; окончание каждого пуга характеризуется скачком напряжения $V(t)$.

Для количественного описания работы схемы исходные ур-ния

$$LC \frac{dI}{dt} = (MS - rC) I + C(U - V),$$

$$C \frac{dU}{dt} = -I, \quad \frac{dV}{dt} = I - I_m D(V)$$

преобразуют к безразмерному виду:

$$\dot{x} = 2hx \times y - gz, \quad \dot{y} = -x, \quad \dot{z} = \dot{x} - f(z), \quad (1)$$

где $x = I/I_m$, $z = V/V_m$, $y = U\sqrt{R/L}/I_m\sqrt{L}$, $\tau = t\sqrt{LC}$, $f(z) = I_m D(V_m)/I_m$ — нормированная характеристика диода. Здесь $\mu = 9C_1/C$ — малый параметр ($\mu \ll 1$). Поэтому все движения в фазовом пространстве (рис. 3)

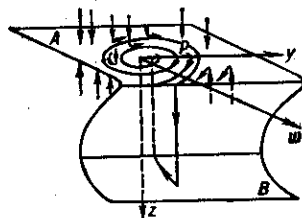


Рис. 3. Поведение траекторий в фазовом пространстве системы (1) при $\mu = 0$.

можно разбить на быстрые переключения диода (прямые $x = \text{const}$, $y = \text{const}$) и медленные, при которых напряжение на диоде «следит» за током; соответствующие траектории лежат на поверхностях A и B [$x = f(z)$, $f'(z) > 0$], отвечающих участкам α и β характеристики диода.

Система имеет одно неустойчивое [при $\dot{z}h > g/f'(0)$] состояние равновесия $x = y = z = 0$ типа седло. Траектории, лежащие на поверхности A , раскручиваются вокруг неустойчивого фокуса и в конце концов достигают края поверхности A . Здесь происходит срыв точки, отображающей на фазовой траектории состояние системы (т. н. изображающей точки) по линии быстрых движений на поверхность B . Пройдя по B , изображающая точка срывается обратно на поверхность A и попадает в окрестность состояния равновесия — начинается новый цуг нарастающих колебаний. Построенная картина движения соответствует реализации, представленной на рис. 4, и её спектру мощности.

Отображение Пуанкаре, соответствующее ур-ниям (1), при $\mu = 0$ кусочно можно описать непрерывной ф-цией, график к-рой приведён на рис. 5. Линейный участок I с коэф. угл. наклона, большим единицы,

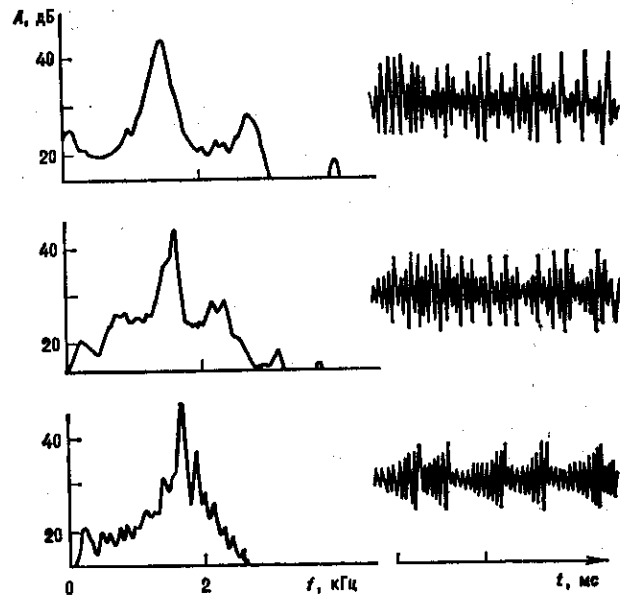


Рис. 4. Спектр мощности сигнала, генерируемого схемой, представленной на рис. 2а, и осциллограмма этого сигнала.

описывает раскручивание траектории на поверхности медленных движений A , соответствующей нарастанию колебаний в контуре. Участок II описывает этап возвращения траекторий, сорвавшихся с поверхности A на поверхность B , обратно на A (см. рис. 3). Все траектории, лежащие вне основания обозначенного пунктиром квадрата, входят в него при асимптотически

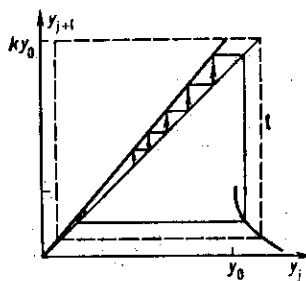


Рис. 5. График функции $f(x)$, описывающей динамику схемы рис. 2 при $\mu = 0$.

больших значениях времени, т. е. область D — поглощающая и содержит атTRACTор. Все траектории внутри этой области неустойчивы, т. е. атTRACTор является странным. При малых значениях $\mu > 0$ свойства стохастичности движений (как показывают численные исследования) сохраняются.